

# Ким София Денисовна БПИ244.

## SET5. Блок А. Задание А3.

### Этап 1.

Реализован класс RandomStreamGen, который генерирует поток строк длиной до 30 символов. Для моделирования момента времени  $t$  поток разбивается на префиксы по процентам: 5%, 10%, ..., 100% (в зависимости от выбранного шага). Это удобно для этапов 2-3, где требуется вычислять точное  $F_0^t$  и оценку  $N_t$  на каждом шаге - фактически обрабатывается префикс  $S[0..k]$ .

Проверка корректности работы генератора main\_RandomStreamGen.cpp:

```
● sofiya@DESKTOP-H1DJGQB:~/new_folder/set4/SET5/a3
empCodeRunnerFile.cpp -o tempCodeRunnerFile && "
Generated: 100000 strings
Steps count: 10
First step prefix size: 10000
Last step prefix size: 100000
Example string: OVi4fKxryaGR007VCceVjAg len=23
```

генерируется ровно  $N$  строк, последний шаг разбиения всегда равен  $N$  (100% потока), длины строк не превышают 30 символов.

HashFuncGen - генерация хеш-функции  $h: U \rightarrow 2^{32}$

Для строки вычисляется 64-битное значение на основе FNV-1a (быстрый проход по символам), затем применяется сильное финальное перемешивание, после чего берутся 32 бита результата. Дополнительно HashFuncGen генерирует "семейство" хеш-функций за счёт различных seed.

Чтобы убедиться, что хеш-функция не даёт сильных перекосов, проведён тест (test\_hash.cpp) распределения по корзинам.

Генерируется поток из  $N=200000$  строк. Для теста строится множество уникальных строк  $U$  (дедупликация потока). Это важно, потому что при равномерном выборе длины из  $[1;30]$  в потоке неизбежно возникают повторы коротких строк (особенно длины 1), и тогда перекос в корзинах отражает не качество хеша, а многократное повторение одинаковых ключей.

Значения хеша раскладываются по  $2^{16}=65536$  корзинам по выбранным битам хеша.

Вычисляются статистики: среднее число попаданий в корзину, дисперсия распределения корзин, минимум и максимум по корзинам.

```
● sofiya@DESKTOP-H1DJGQB:~/new_fold
empCodeRunnerFile.cpp -o tempCode
Total strings: 200000
Unique strings: 190017
Mean per bin: 2.89943
Var per bin: 2.90149
Min count: 0
Max count: 12
```

### Этап 2

Реализован вероятностный алгоритм HyperLogLog, каждый элемент потока  $x$  хешируется в 32-битное значение  $h(x) \in 0, \dots, 2^{32} - 1$ . Первые  $B$  старших бит хеша используются как

индекс регистра  $j \in [0, 2^B - 1]$ , а по оставшимся 32-Битам вычисляется величина  $\rho$  - позиция первого значащего 1 (число ведущих нулей + 1). Далее выполняется обновление регистра:  $M[j] = \max(M[j], \rho)$ . Оценка количества уникальных элементов на момент времени  $t$  вычисляется методом HyperLogLog, с применением стандартной коррекции для малых значений.

(ExactF0.cpp) Точное значение  $F_0^t$  (число уникальных объектов в префиксе потока длины  $t$ ) вычисляется отдельно детерминированным способом: поддерживается множество `unordered_set`, в которое добавляются элементы обработанного префикса, и  $F_0^t = |\{S1, \dots, St\}| = size(set)$ .

HyperLogLog требуется выбрать число регистров  $m = 2^B$ . Теоретическая относительная стандартная ошибка оценивается как  $RSE \approx 1.04/\sqrt{2^B}$ . Были выполнены тестовые запуски (`choose_B_test.cpp`) для  $B=10, 12, 14, 16$  на множестве уникальных строк. Проверялась равномерность распределения элементов по регистраторам (по первым  $B$  бит хеша) и распределение величины  $\rho$  по оставшимся битам.

```
● sofiya@DESKTOP-H1DJGQB:~/new_folder/set4/SET5$ cd "/home/sofiya/
nnerFile.cpp -o tempCodeRunnerFile && "/home/sofiya/new_folder/s
Total: 200000
Unique: 190017

==== B=10 (m=1024), theory RSE ~ 3.25% ====
Registers: mean=185.563, std=13.9631, min=148, max=229
rho distribution (first values):
  rho=1: obs=95019, exp~95008.5, obs/exp~1.00011
  rho=2: obs=47407, exp~47504.2, obs/exp~0.997953
  rho=3: obs=23811, exp~23752.1, obs/exp~1.00248
  rho=4: obs=11854, exp~11876.1, obs/exp~0.998142
  rho=5: obs=5907, exp~5938.03, obs/exp~0.994774
  rho=6: obs=3040, exp~2969.02, obs/exp~1.02391

==== B=12 (m=4096), theory RSE ~ 1.625% ====
Registers: mean=46.3909, std=6.77273, min=26, max=69
rho distribution (first values):
  rho=1: obs=94774, exp~95008.5, obs/exp~0.997532
  rho=2: obs=47619, exp~47504.2, obs/exp~1.00242
  rho=3: obs=23648, exp~23752.1, obs/exp~0.995616
  rho=4: obs=12079, exp~11876.1, obs/exp~1.01709
  rho=5: obs=5961, exp~5938.03, obs/exp~1.00387
  rho=6: obs=2948, exp~2969.02, obs/exp~0.992922

==== B=14 (m=16384), theory RSE ~ 0.8125% ====
Registers: mean=11.5977, std=3.40954, min=1, max=27
rho distribution (first values):
  rho=1: obs=94608, exp~95008.5, obs/exp~0.995785
  rho=2: obs=47689, exp~47504.2, obs/exp~1.00389
  rho=3: obs=23857, exp~23752.1, obs/exp~1.00442
  rho=4: obs=11846, exp~11876.1, obs/exp~0.997469
  rho=5: obs=6089, exp~5938.03, obs/exp~1.02542
  rho=6: obs=3047, exp~2969.02, obs/exp~1.02627

==== B=16 (m=65536), theory RSE ~ 0.40625% ====
Registers: mean=2.89943, std=1.70338, min=0, max=12
rho distribution (first values):
  rho=1: obs=94755, exp~95008.5, obs/exp~0.997332
  rho=2: obs=47477, exp~47504.2, obs/exp~0.999426
  rho=3: obs=23962, exp~23752.1, obs/exp~1.00884
  rho=4: obs=11992, exp~11876.1, obs/exp~1.00976
  rho=5: obs=5931, exp~5938.03, obs/exp~0.998816
  rho=6: obs=2977, exp~2969.02, obs/exp~1.00269
```

Для  $B=10$  ( $m=1024$ ) регистры также заполняются равномерно ( $mean \approx 185.6$ ,  $min=148$ ,  $max=229$ ), однако теоретическая ошибка выше - около 3.25%.

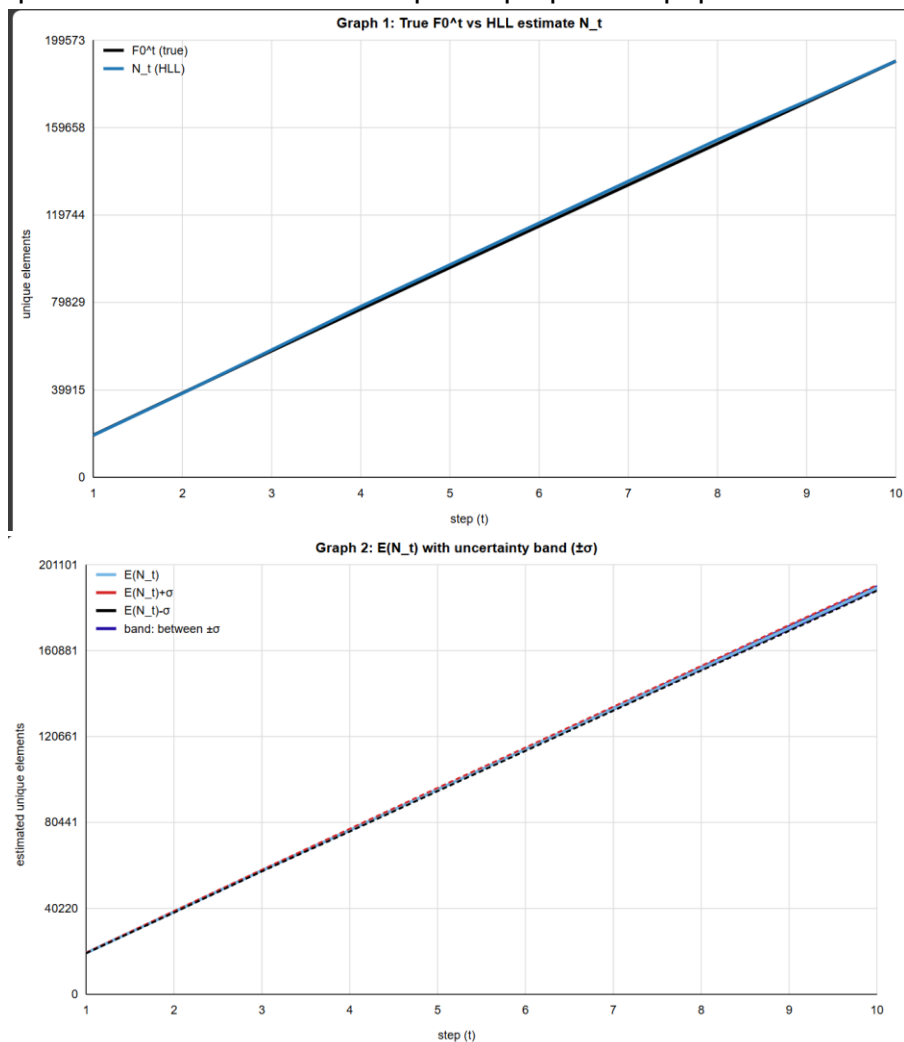
Для  $B=12$  ( $m=4096$ ) регистры заполняются равномерно, однако теоретическая ошибка около 1.6%.

Для  $B=16$  ( $m=65536$ ) среднее число элементов на регистр около 2.9 и наблюдаются пустые регистры ( $\min=0$ ), то есть структура становится разреженной, и оценка сильнее зависит от коррекции малых значений.

Для  $B=14$  ( $m=16384$ ) распределение по регистраторам близко к равномерному ( $\min=1$ ,  $\max=27$  при  $\text{mean} \approx 11.6$ ), а распределение  $\rho$  соответствует ожидаемому  $P(\rho = k) \approx 2^{-k}$ .

Поэтому выбираю  $B=14$  как компромисс между точностью ( $RSE \approx 0.81\%$ ) и устойчивостью/заполнением регистров.

`stage2_run.cpp` генерирует  $K$  потоков строк фиксированного размера  $N$ , для каждого потока последовательно обрабатывает выбранные префиксы (шаги  $t$  по 10% от длины потока), на каждом шаге вычисляет точное число уникальных элементов  $F_0^t$  с помощью `unordered_set` и вероятностную оценку  $N_t$  с помощью реализованного HyperLogLog, после чего сохраняет результаты в два CSV-файла: `stage2_example.csv` (для одного потока:  $F_0^t$  и  $N_t$  по шагам) и `stage2_stats.csv` (для всех потоков: выборочное среднее  $\mathbb{E}(N_t)$  и стандартное отклонение  $\sigma_{N_t}$  на каждом шаге). Программа `plot_svg.cpp` читает эти CSV-файлы и автоматически строит графики в формате SVG.



На графике 1 показано сравнение истинного числа уникальных элементов  $F_0^t$  и оценки HyperLogLog  $N_t$  для одного потока (по оси X - номер шага  $t$ , по оси Y - число уникальных элементов): две линии практически совпадают на всём диапазоне шагов, что подтверждает корректность реализации и хорошую точность оценки при выбранном параметре  $B=14$ .

На графике 2 представлены выборочные статистики по  $K=20$  потокам: линия  $\mathbb{E}(N_t)$  (средняя

оценка) и область неопределённости  $\mathbb{E}(N_t) \pm \sigma_{N_t}$  - верхняя граница  $\mathbb{E}(N_t) + \sigma_{N_t}$  выделена красным пунктиром, нижняя  $\mathbb{E}(N_t) - \sigma_{N_t}$  - чёрным пунктиром, а промежуток между ними закрашен; видно, что полоса  $\pm\sigma$  остаётся узкой относительно общего масштаба по оси Y, значит разброс оценок между потоками небольшой и алгоритм даёт стабильные результаты при фиксированных параметрах эксперимента.

### Этап 3

Сравним практические результаты HyperLogLog с теоретическими оценками при параметрах эксперимента  $B=14$  (то есть  $m = 2^B = 2^{14} = 16384$  регистров),  $N=200000$ ,  $K=20$  потоков и шаге 10%.

$$\frac{1.04}{\sqrt{m}} = \frac{1.04}{\sqrt{16384}} \approx \frac{1.04}{128} \approx 0.008125 \approx 0.8125$$

$$\frac{1.3}{\sqrt{m}} = \frac{1.3}{\sqrt{16384}} \approx \frac{1.3}{128} \approx 0.010156 \approx 1.0156$$

По результатам  $K=20$  потоков из файла `stage2_stats.csv` для каждого шага  $t$  была посчитана относительная величина:  $\frac{\sigma_{N_t}}{\mathbb{E}(N_t)}$ . По нашим данным она лежит примерно в диапазоне 0.66%-0.93%, то есть значения сопоставимы с теоретическим 0.8125% и уверенно укладываются в границу 1.016%, что подтверждает корректную точность реализации в среднем по потокам.

По графику №1 (данные `stage2_example.csv`) видно, что оценка  $N_t$  хорошо повторяет истинное  $F_0^t$  для одного потока: линии практически совпадают, а отклонения небольшие относительно масштаба; при этом для отдельного потока возможны локальные колебания вверх/вниз (что нормально для вероятностного алгоритма), например максимальная абсолютная ошибка по примерному потоку достигает порядка  $10^3$  элементов, что даёт относительную ошибку около 1%-2% на некоторых шагах, а к концу потока ошибка становится очень малой.

Стабильность удобно анализировать по графику №2: показана линия  $\mathbb{E}(N_t)$  и  $\mathbb{E}(N_t) \pm \sigma_{N_t}$ . На графике видно, что область неопределённости узкая относительно общего масштаба по оси Y. Это подтверждается численно:  $\sigma_{N_t}$  в абсолютных единицах растёт вместе с  $t$  (что естественно: растёт сам масштаб значений), но относительная нестабильность  $\frac{\sigma_{N_t}}{\mathbb{E}(N_t)}$  остается примерно на одном уровне (в пределах ~0.7-0.9%).

То есть дисперсия ведёт себя ожидаемо: алгоритм стабилен, а относительная погрешность примерно постоянна и определяется числом регистров  $m$ .

Эффективность выбранных констант и их влияние выражаются главным образом в выборе  $B$ : увеличение  $B$  повышает точность как  $\frac{1}{\sqrt{2^B}}$ , но увеличивает память линейно по  $m = 2^B$ ; выбранное значение  $B=14$  даёт хороший компромисс между памятью и точностью (теоретически около 0.8%), а использование стандартных констант  $\alpha_m$  и корректировок HyperLogLog (Linear Counting для малого диапазона и коррекция большого диапазона) улучшает поведение оценки на разных масштабах потоков при условии достаточно равномерной хеш-функции.

